

## Geladene Teilchen in elektromagnetischen Feldern

- Geladene Teilchen in elektromagnetischen Feldern
  1. Lorentzkraft
  2. Grundlagen zur Optik von Strahlen geladener Teilchen
  3. Multipolfeld-Entwicklung für Magnete
  4. Bewegungsgleichung der Teilchenstrahldynamik
  5. Generelle Lösungen der Bewegungsgleichung

Kraft auf geladene Teilchen in elmagn. Felder: **Lorentzkraft** (in Gauss-Einheiten!)

$$\vec{F} = e\vec{E} + \frac{e}{c} [\vec{v} \times \vec{B}]$$

dabei gilt:

$$\vec{F} = \dot{\vec{p}} = \gamma mc \dot{\vec{\beta}} + \dot{\gamma} mc \vec{\beta} = \gamma mc \dot{\vec{\beta}} + \gamma^3 \beta \dot{\beta} \cdot mc \vec{\beta}$$

In diesem Abschnitt sei der Fall betrachtet, dass  $\vec{F} \perp \vec{\beta} \rightarrow \dot{\beta} = |\dot{\vec{\beta}}| = 0$ , also (Beschleunigung nur senkrecht):

$$\vec{F}_{\perp} = \dot{\vec{p}}_{\perp} = \gamma mc \dot{\vec{\beta}}_{\perp}$$

## Grundlagen zur Teilchstrahl-Optik

**Teilchenablenkung** in elektrischen und/oder magnetischen Feldern:

$$\vec{F}_{\perp} = \gamma mc \dot{\vec{\beta}}_{\perp} = e\vec{E}_{\perp} + \frac{e}{c} [\vec{v}_{\parallel} \times \vec{B}_{\perp}]$$

(Lorentz-)Kraft  $\vec{F}_{\perp}$  muss Zentrifugalkraft  $\vec{F}_Z = \gamma m v^2 \frac{\vec{R}}{R^2} = p v \frac{\vec{R}}{R^2}$  kompensieren (Ablenkradius  $R$ , Impuls  $p$ ):

$$\bullet \quad |\vec{F}_{\perp}| \stackrel{!}{=} |\vec{F}_Z| \longrightarrow \begin{cases} \boxed{pv = eR|\vec{E}_{\perp}|} & \text{mit } \textit{elektrischer Steifheit:} \quad R \cdot |\vec{E}_{\perp}| \\ \boxed{pc = eR|\vec{B}_{\perp}|} & \text{mit } \textit{magnetischer Steifheit:} \quad R \cdot |\vec{B}_{\perp}| \end{cases}$$

Größenordnung der *Steifigkeit* im relativistischen Fall  $v \approx c$  (in praktischen Einheiten):

$$\left. \begin{array}{l} \diamond \quad p [\text{GeV}/c] \approx E [\text{GV}/\text{m}] \cdot R [\text{m}] \\ \diamond \quad p [\text{GeV}/c] \approx 0.3 \cdot B [\text{T}] \cdot R [\text{m}] \end{array} \right\} \longrightarrow 1 \text{ Tm} \Leftrightarrow 300 \text{ MV!}$$

→ enorme elektrische Felder für Teilchenablenkung notwendig

→ Anwendung nur nicht-relativistisch

oder in Spezialfällen (z.B. elektrostatische Separatoren z.B. in  $e^+e^-$ -Speicherringen)

→ Teilchenablenkung in Beschleunigern zumeist durch Ablenkmagnete

**Koordinatensystem** zur Beschreibung der Teilchenbewegung in elektrischen und/oder magnetischen Feldern:

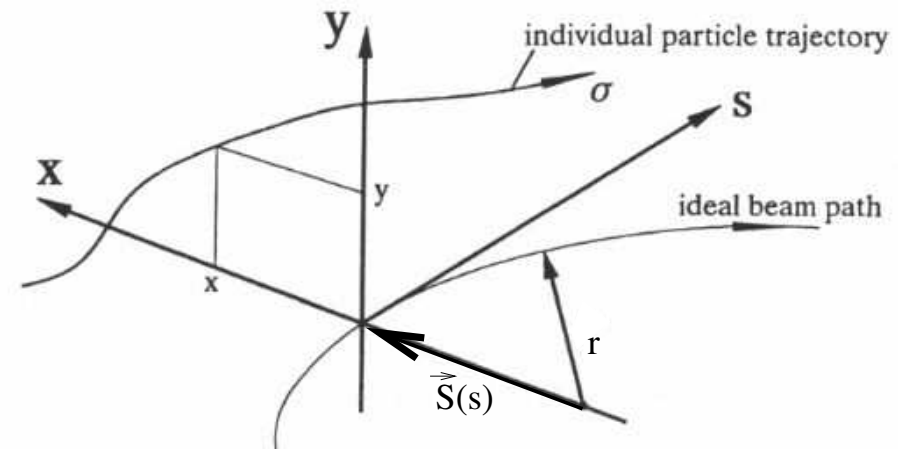


Fig. 4.1. Coordinate system

- Bewegung entlang Sollorbit: mitbewegtes rechtwinkliges Koordinatensystem  $(x, y, s)$  mit Zeit  $t \equiv s/v_s$
- individueller Weg eines Teilchens:  $\sigma$  (statt  $s$ ) mit Zeit  $\tau \equiv \sigma/v_\sigma$
- Ursprungsvektor  $\vec{S}(s) \Rightarrow$  Krümmungsvektor  $\vec{\kappa} \equiv -\frac{d^2\vec{S}(s)}{ds^2} \longrightarrow \vec{\kappa} = (\kappa_x, \kappa_y) = (-x'', -y'')$  (\*\*  
\*)  
(Krümmungsradius  $r \equiv 1/\kappa$ ,  $x'' \equiv d^2x/ds^2$ , dito  $y''$  und betrachte Kreisbahn z.B.:  $S_x(s) = \sqrt{r^2 - s^2} \approx r - s^2/r$ )
- $\vec{F} = \frac{d\vec{p}}{d\tau} = e\vec{v} \times \vec{B} \longrightarrow -ev_\sigma B_y = \frac{dp_x}{d\tau} \approx p \frac{dx'}{d\tau} \approx \beta c p x''$  mit  $p_x \approx p x'$  und  $ds \approx d\sigma = \beta c d\tau$ .  
(lineare Näherung:  $p_x \equiv \gamma m v_x = \gamma m dx/d\tau \approx \gamma m \beta c \cdot x'$ ,  
da i.A.  $x', y' \ll 1 \longrightarrow p_s = p \sqrt{1 - x'^2 - y'^2} \approx p$ )

$$\rightarrow x'' \approx -\frac{e v_\sigma}{p \beta c} B_y \stackrel{v_\sigma \equiv \beta c}{=} -\frac{e}{p} B_y, \quad \text{analog: } y'' \approx \frac{e}{p} B_x$$

# Fokussierung von Teilchenstrahlen

zur Erinnerung: **Magnetfeldberechnung:**

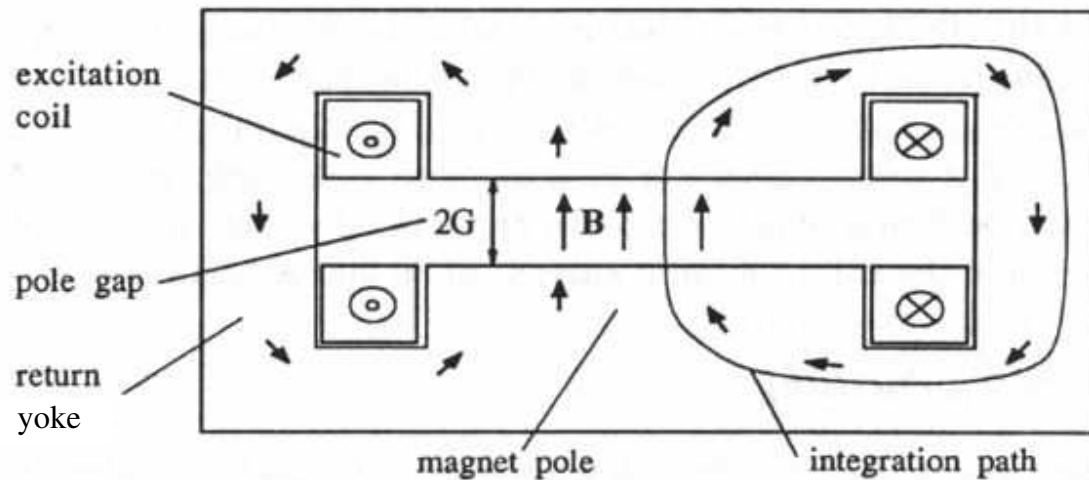


Fig. 4.3. Cross section of a dipole magnet (schematic)

- elektr. Strom  $I$  in Spulen  $\rightarrow$  magn. Induktion  $\vec{B}$
- magn. Fluss durch Spalt  $2G$  und Rückflussjoch
- Maxwell Gleichung:  $\nabla \times \frac{\vec{B}}{\mu_r} = \frac{4\pi}{c} \vec{j}$   
(Permeabilität im Rückflussjoch  $\mu_r$ , Stromdichte  $\vec{j}$ )

$\rightarrow$  mit Stokesschem Satz ( $n$  Windungen):

$$2GB_{\perp} + \int_{\text{Joch}} \frac{\vec{B}}{\mu_r} d\vec{s} = \frac{4\pi}{c} nI$$

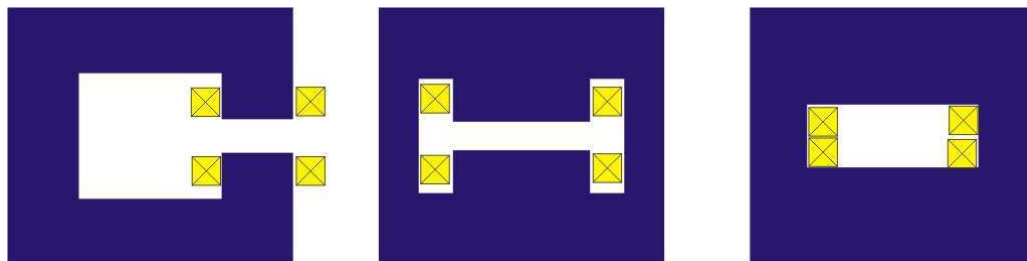
- für  $\mu_r \gg 1 \rightarrow \int_{\text{Joch}} \frac{\vec{B}}{\mu_r} d\vec{s} \ll 1$

$\rightarrow$  Näherungsformel für Spulenstrom:

$$nI [\text{kA}] \approx 8 \cdot B_{\perp} [\text{T}] \cdot G [\text{cm}]$$

z.B.:  $B_{\perp} = 1 \text{ T}$ ,  $2G = 10 \text{ cm} \rightarrow nI = 40 \text{ kA}$

## Dipolmagnet-Bauformen:



C-Magnet

H-Magnet

Fensterrahmen-M.

**Fokussierung durch Magnetlinsen:**

- analog zur geometrischen Optik, jedoch Magnet- statt Glaslinsen

→ Sammel-, Zerstreulinse, Brennweite, -punkt, ...

- Sammellinse: Ablenkwinkel  $\alpha$  Abstand von optischer Achse:  $\alpha = -r/f$

- magnetische Sammellinse ( $f \gg l$ ):

$$\alpha = -\frac{l}{\rho - \delta\rho} \approx -\frac{l}{\rho} = -\frac{e}{\beta E} B_\varphi l$$

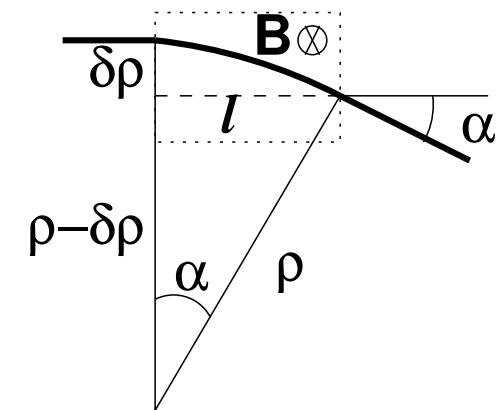
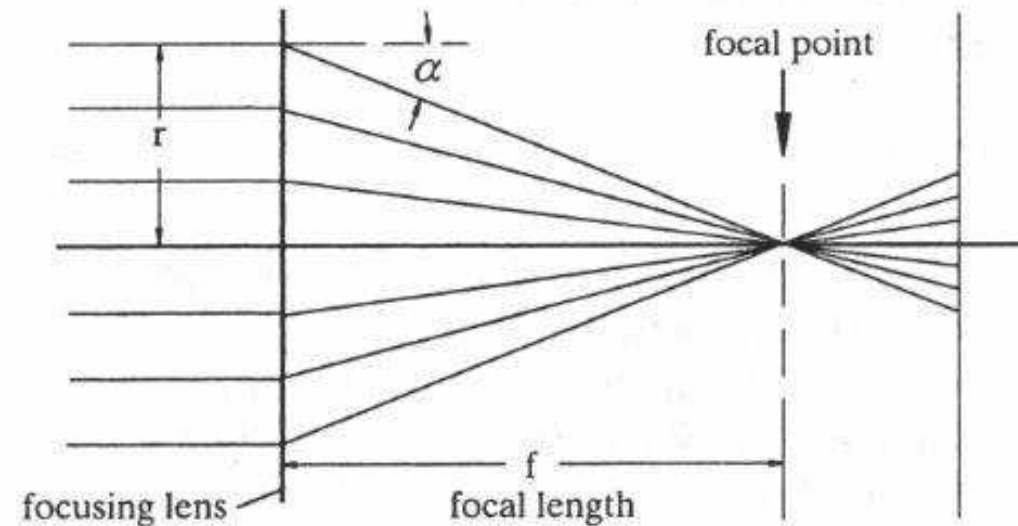
azimutales Magnetfeld  $B_\varphi$ , Weglänge  $l$  in  $B_\varphi$ -Feld,

Teilchenenergie  $E = pc/\beta$ , für  $f \leq l$ :  $B_\varphi l \rightarrow \int B_\varphi ds$

- $\alpha \propto r \rightarrow B_\varphi = gr$  mit Feldgradient  $g = dB_\varphi/dr$   
 $\rightarrow \alpha = -\frac{e}{\beta E} grl$

→ Fokussierungsvermögen:  $k = \frac{e}{cp} g = \frac{e}{\beta E} g$   
 ( $\hat{=}$  Brechkraft)  
 $k[\text{m}^{-2}] \approx 0.3 \cdot \frac{g[\text{T/m}]}{\beta E[\text{GeV}]}$

⇒ Brennweite:  $f^{-1} = kl$



**Strahlführungs- und Fokussierungsmagnete:**

- Dipol (Spalthöhe  $2G$  und  $nI$  Ampèrewindungen):

$$B = \frac{4\pi nI}{c 2G}$$

→ homogenes Ablenkbild zwischen Polschuhen

$$p = eBR/c$$

$B_\varphi = 0 \rightarrow$  keine Fokussierung

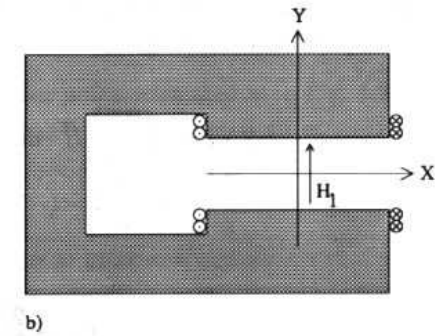
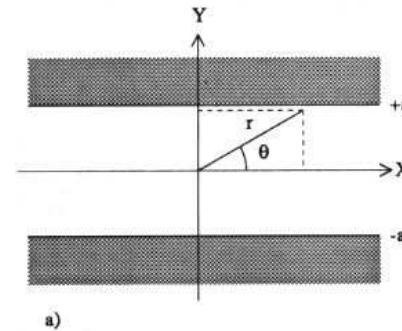


Figure. 4.1 a) Pole profile for a "dipole" magnet.

b) Dipole magnet with coils and dipole field.

- Quadrupol (Apertur  $a$ ):

leiterfreier Bereich hat skalares Potential

$$V(x, y) = -gxy$$

→  $\vec{B} \equiv -\nabla V$

$$\rightarrow \begin{cases} B_x = gy \\ B_y = gx \end{cases}$$

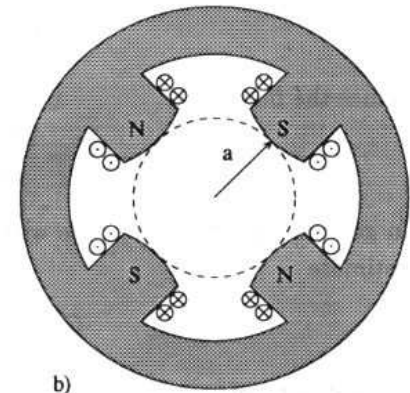
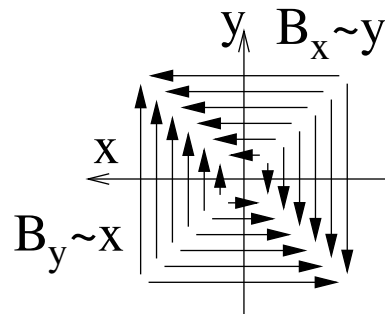


Figure. 4.2 a) Pole-face profile of equation  $xy = a^2/2$ . b) Quadrupole magnet with coils.

→ Fokussierung, aber nur in einer Ebene !

(z.B. für  $e^+$ : Fokussierung in  $x$ , Defokussierung in  $y$ )

## Fokussierung/Defokussierung mit Quadrupol

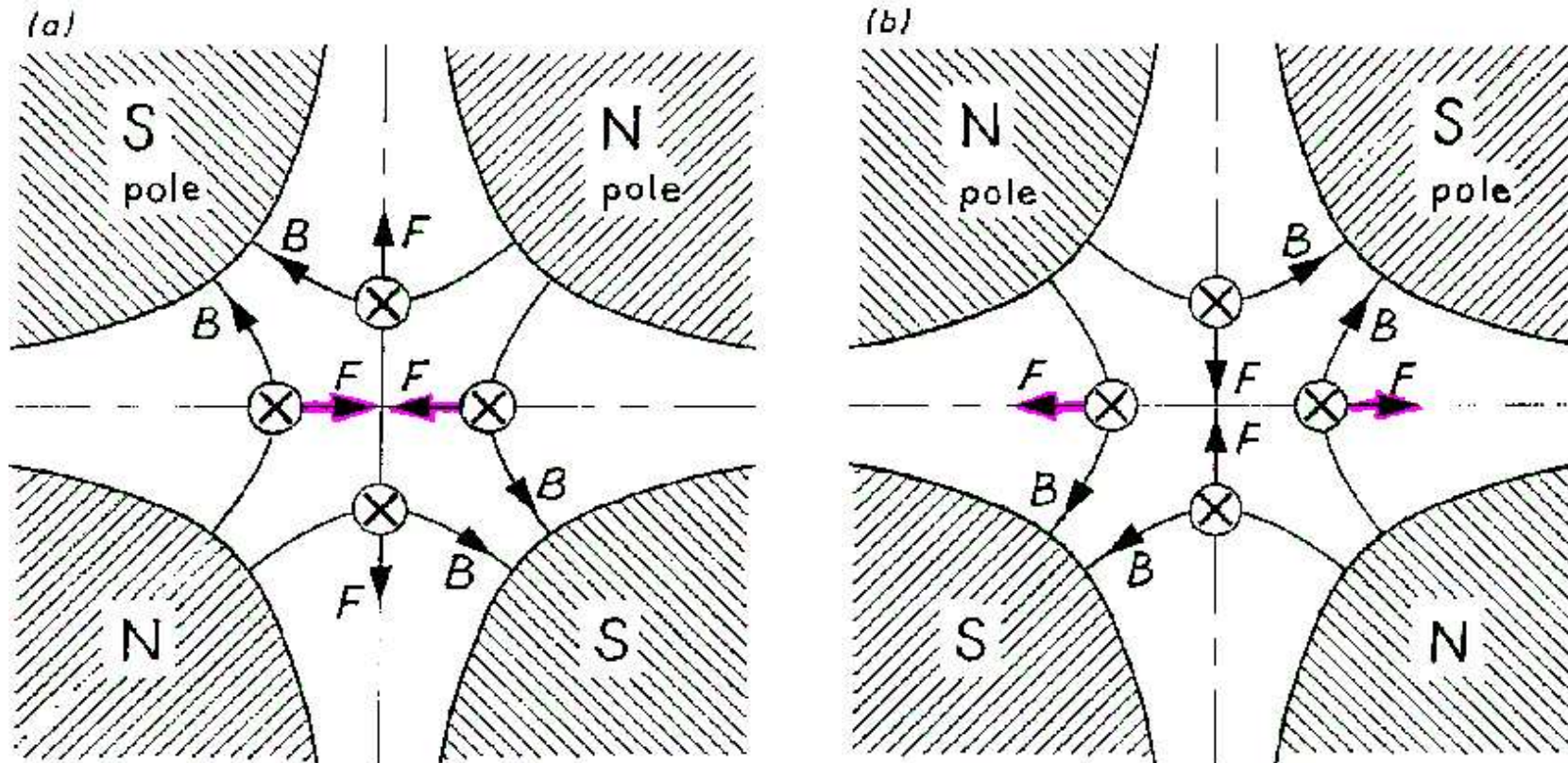


Figure 3.1. Fields and forces inside a quadrupole. (a) Focusing or F-type quadrupole, (b) defocusing or D-type quadrupole (drawn for positive particles entering the paper).

(Darstellung der Kräfte  $F$  für positiv geladenes Teilchen  $\otimes$ , das in Papierebene eintritt)

## Multipolfeld-Entwicklung

Systematisierung der Magnetfeldformen:

In ladungsfreien Bereichen  $\rightarrow$  skalares Potential  $V(x, y, z)$  zur Magnetfeld-Beschreibung  $\rightarrow \vec{B} = \nabla V$

Damit gilt:

- ladungsfreie Laplace-Gleichung:

$$0 = \nabla \vec{B} = \nabla^2 V \equiv \Delta V$$

in Zylinderkoordinaten explizit

$$\rightarrow \nabla^2 V = \frac{\partial^2 V}{\partial r^2} + \frac{1}{r} \frac{\partial V}{\partial r} + \frac{1}{r^2} \frac{\partial^2 V}{\partial \varphi^2} + \frac{\partial^2 V}{\partial z^2} \equiv 0$$

- Lösung: Taylorreihe um Sollbahn  $r = 0$   
( $n > 0$  sonst Singularität für  $r \rightarrow 0$ )

$$V(r, \varphi, z) = -\frac{cp}{e} \sum_{n>0} \frac{1}{n!} \cdot A_n(z) r^n e^{in\varphi} \quad (\star)$$

- ... in Laplace-Gleichung (Vereinfachung:  
keine  $z$ -Abhängigkeit  $\rightarrow$  2-dim. transvers. Felder)

$$\rightarrow \sum_n \left[ \frac{n(n-1) + n - n^2}{r^2} \right] \cdot \frac{1}{n!} \cdot A_n(z) r^n e^{in\varphi} = 0$$

für alle  $\varphi$ ,  $A_n$  und  $r > 0$ , da  $\forall n: n(n-1) + n - n^2 = 0$

- elmagn. Felder aus Potentialen  $V_e$  bzw.  $V_m$

$$\rightarrow \begin{cases} \vec{E} &= -\frac{cp}{e} \nabla V_e(r, \varphi) \\ \vec{B} &= -\frac{cp}{e} \nabla V_m(r, \varphi) \end{cases}$$

**Explizite Lösungen** aus der allgemeinen Lösung ( $\star$ ) sind komplexwertig,

d.h.  $\exists$  zwei unabhängige Lösungen ( $\text{Re } V$  und  $\text{Im } V$ ) zur gleichen Laplace-Gleichung.

Für die ersten drei Multipole sind die expliziten Lösungen (komplexwertig und als  $\text{Re} + \text{Im}$ ):

$$\begin{aligned} \text{Dipol} \quad n = 1 \quad & -\frac{e}{cp} \cdot V_1 = A_1 r e^{i\varphi} = A_1(x + iy) \\ & \longrightarrow -\frac{e}{cp} \cdot V_1 = -\kappa_y x + \kappa_x y \end{aligned}$$

$$\begin{aligned} \text{Quadrupol} \quad n = 2 \quad & -\frac{e}{cp} \cdot V_2 = \frac{1}{2} A_2 r^2 e^{2i\varphi} = \frac{1}{2} A_2 (x + iy)^2 \\ & \longrightarrow -\frac{e}{cp} \cdot V_2 = -\frac{1}{2} \underline{k} (x^2 - y^2) + kxy \end{aligned}$$

$$\begin{aligned} \text{Sextupol} \quad n = 3 \quad & -\frac{e}{cp} \cdot V_3 = \frac{1}{6} A_3 r^3 e^{3i\varphi} = \frac{1}{6} A_3 (x + iy)^3 \\ & \longrightarrow -\frac{e}{cp} \cdot V_3 = -\frac{1}{6} \underline{m} (x^3 - 3xy^2) + \frac{1}{6} m (3x^2y - y^3) \end{aligned}$$

usw. usf. Dabei sind  $\kappa_x$ ,  $\kappa_y$ ,  $\underline{k}$ ,  $k$ ,  $\underline{m}$ ,  $m$ , etc. so gen. *Multipolstärken*.

( $n = 4$ : Oktupol mit  $\underline{r}$ ,  $r$  [NB:  $r$  ist hier Multipolstärke, nicht Radius!];

$n = 5$ : Dekapol mit  $\underline{d}$ ,  $d$ , ...)

Die **Magnetfelder**  $\vec{B}$  folgen aus  $\nabla V = (\partial V/\partial x, \partial V/\partial y) = (B_x, B_y)$ ,  
wobei für Anwendungen unterschieden werden:

aufrechte Multipole

Äquipotentialflächen aus  $V \stackrel{!}{=} \text{const.}$

gedrehte Multipole ( $\Phi_n = \pi/2n$ )

Dipol  
( $\Phi=0^\circ$ )

$$\frac{e}{cp} B_x = 0$$

$$\frac{e}{cp} B_y = \kappa_x$$

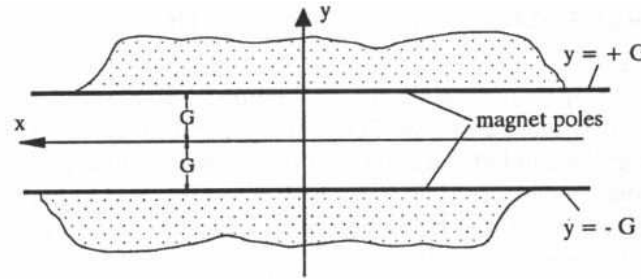


Fig. 4.7. Pole contour for a horizontally deflecting dipole magnet

$$\frac{e}{cp} B_x = -\kappa_y$$

$$\frac{e}{cp} B_y = 0$$

Dipol  
( $\Phi=90^\circ$ )

Quadrupol  
( $\Phi=0^\circ$ )

$$\frac{e}{cp} B_x = ky$$

$$\frac{e}{cp} B_y = kx$$

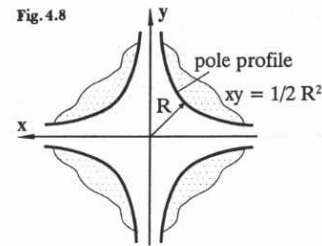


Fig. 4.8

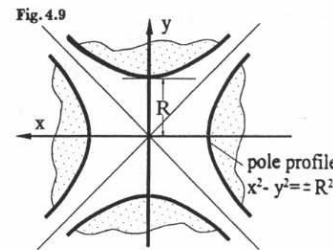


Fig. 4.9

Fig. 4.8. Pole shape of an upright quadrupole magnet

Fig. 4.9. Pole shape of a rotated quadrupole magnet

$$\frac{e}{cp} B_x = -kx$$

$$\frac{e}{cp} B_y = +ky$$

Quadrupol  
( $\Phi=45^\circ$ )

Sextupol  
( $\Phi=0^\circ$ )

$$\frac{e}{cp} B_x = mxy$$

$$\frac{e}{cp} B_y = \frac{1}{2}m(x^2 - y^2)$$

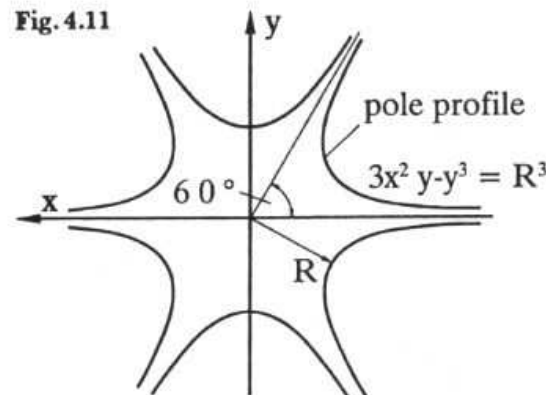


Fig. 4.11

Fig. 4.11. Pole profile for an upright sextupole

$$\frac{e}{cp} B_x = -\frac{1}{2}m(x^2 - y^2)$$

$$\frac{e}{cp} B_y = +mxy$$

Sextupol  
( $\Phi=30^\circ$ )

aufrechte Multipole

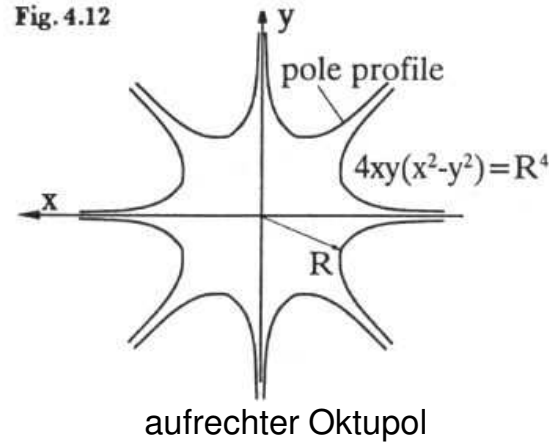
Äquipotentialflächen aus  $V \stackrel{!}{=} \text{const.}$

gedrehte Multipole ( $\Phi_n = \pi/2n$ )

Oktupol  
( $\Phi=0^\circ$ )

$$\frac{e}{cp} B_x = \frac{1}{6} r (3x^2 y - y^3)$$

$$\frac{e}{cp} B_y = \frac{1}{6} r (x^3 - 3xy^2)$$



$$\frac{e}{cp} B_x = -\frac{1}{6} \underline{r} (x^3 - 3xy^2)$$

$$\frac{e}{cp} B_y = +\frac{1}{6} \underline{r} (3x^2 y - y^3)$$

Oktupol  
( $\Phi=22.5^\circ$ )

Dekapol  
( $\Phi=0^\circ$ )

$$\frac{e}{cp} B_x = \frac{1}{6} d (x^3 y - xy^3)$$

$$\frac{e}{cp} B_y = \frac{1}{24} d (x^4 - 6x^2 y^2 + y^4)$$

$$\frac{e}{cp} B_x = -\frac{1}{24} \underline{d} (x^4 - 6x^2 y^2 + y^4)$$

$$\frac{e}{cp} B_y = -\frac{1}{6} \underline{d} (x^3 y - xy^3)$$

Dekapol  
( $\Phi=18.0^\circ$ )

NB: Die Multipolstärken (für die aufrechten) Multipole sind durch

$$s_n [m^{-n}] = \frac{e}{cp} \left. \frac{\partial^{n-1} B_y}{\partial x^{n-1}} \right|_{\substack{x=0 \\ y=0}}$$

gegeben, also:

$$s_1 = \kappa_x \equiv 1/\rho, s_2 = k, s_3 = m, s_4 = r, s_5 = d, \text{ usw.}$$

(Für gedrehte Multipole:  $B_y \rightarrow B_x$  und  $x \rightarrow y$  sowie  $s_n \rightarrow -\underline{s}_n = \kappa_y, \underline{k}, \underline{m}, \underline{r}, \underline{d}, \text{ usw.}$ )

**Realisierung reiner Multipolfelder:**

Zur Erinnerung:

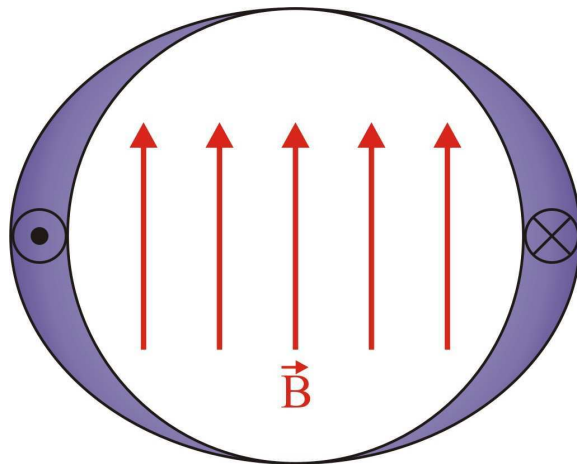
Es gilt:

- $\vec{B} = \nabla V \rightarrow B_\varphi = (1/r) \cdot (\partial V / \partial \varphi)$
- $V_n \propto r^n e^{in\varphi}$
- $I \propto B$

$$\left. \begin{array}{l} \bullet \vec{B} = \nabla V \rightarrow B_\varphi = (1/r) \cdot (\partial V / \partial \varphi) \\ \bullet V_n \propto r^n e^{in\varphi} \\ \bullet I \propto B \end{array} \right\} \rightarrow I_n(r, \varphi) \propto r^{n-1} \cos n\varphi$$

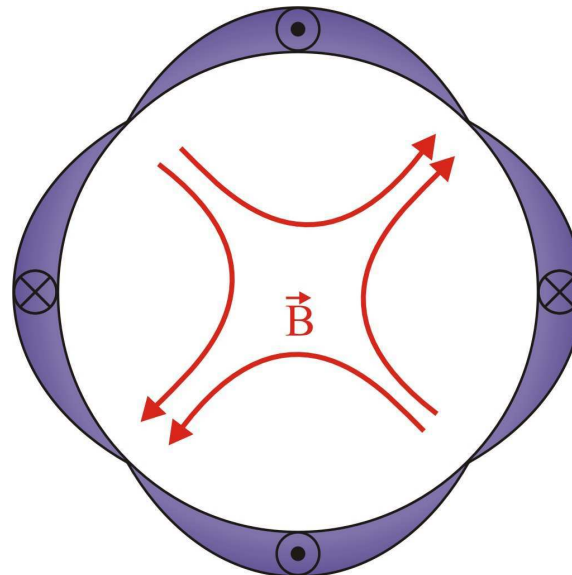
**Dipol**

$$I(\varphi) = I_0 \cdot \cos \varphi$$



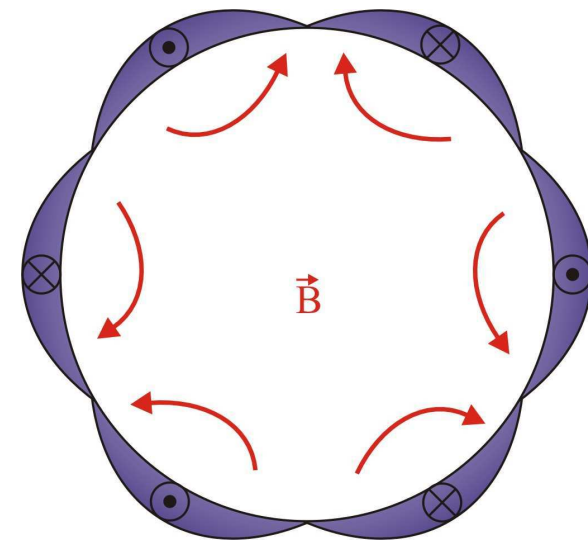
**Quadrupol**

$$I(\varphi) = I_0 \cdot \cos 2\varphi$$

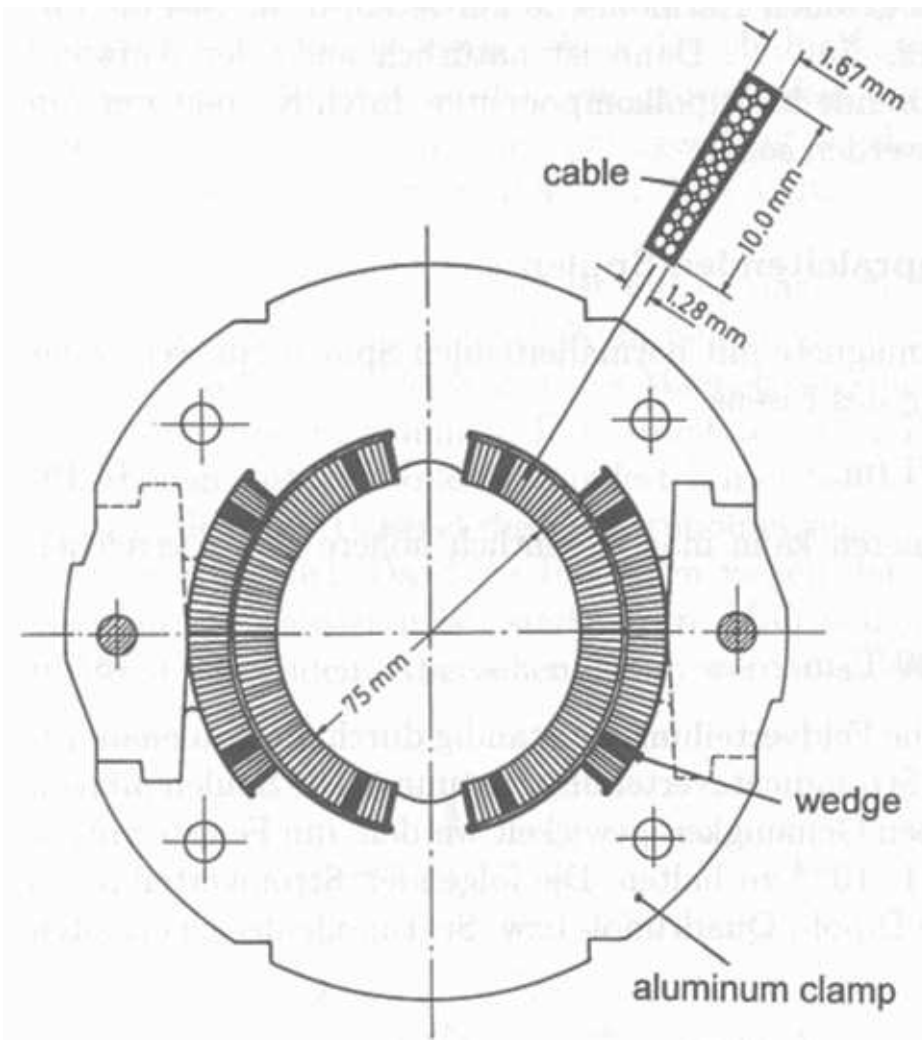


**Sextupol**

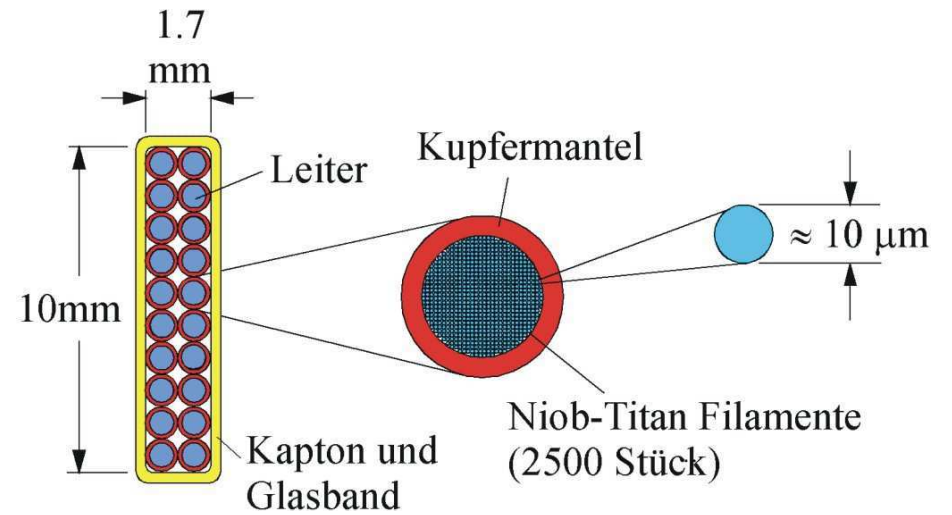
$$I(\varphi) = I_0 \cdot \cos 3\varphi$$



Beispiel: supraleitender HERA-Dipol



Aufbau des supraleitenden Kabels



genauso auch (2x) in LHC-Dipol (schematisch):

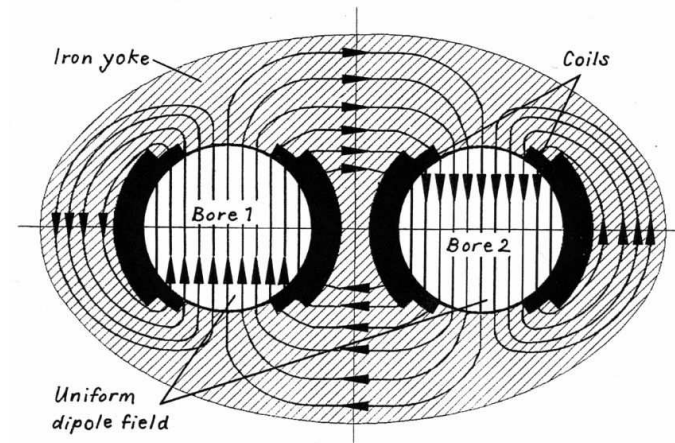


Figure 5B. Flux pattern in a twin-bore magnet.

Verteilung der Kabel approximiert  $\cos \varphi$ -Verteilung für Gesamtstrom  $I(\varphi)$

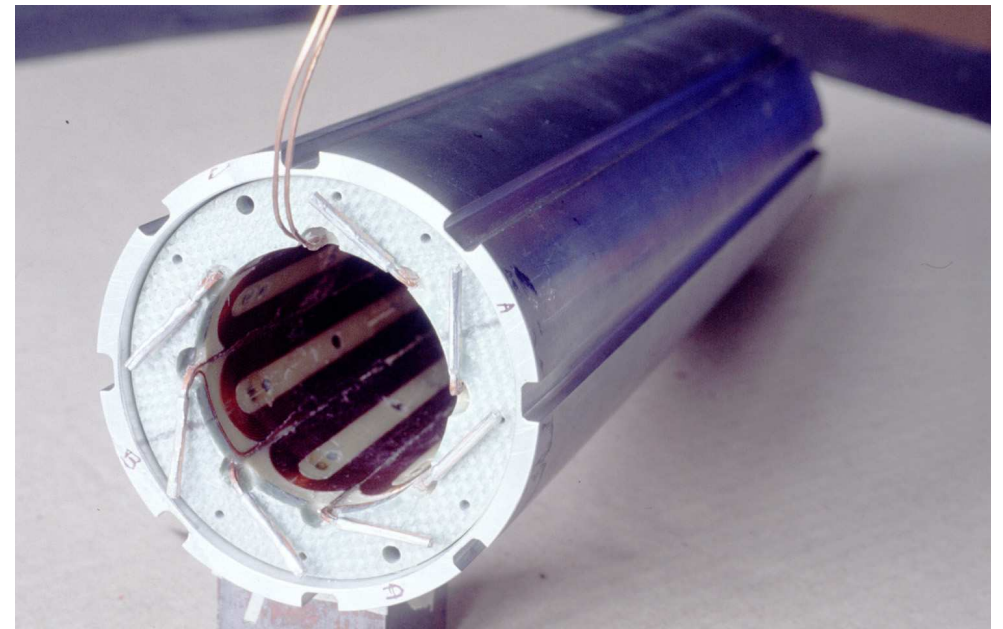
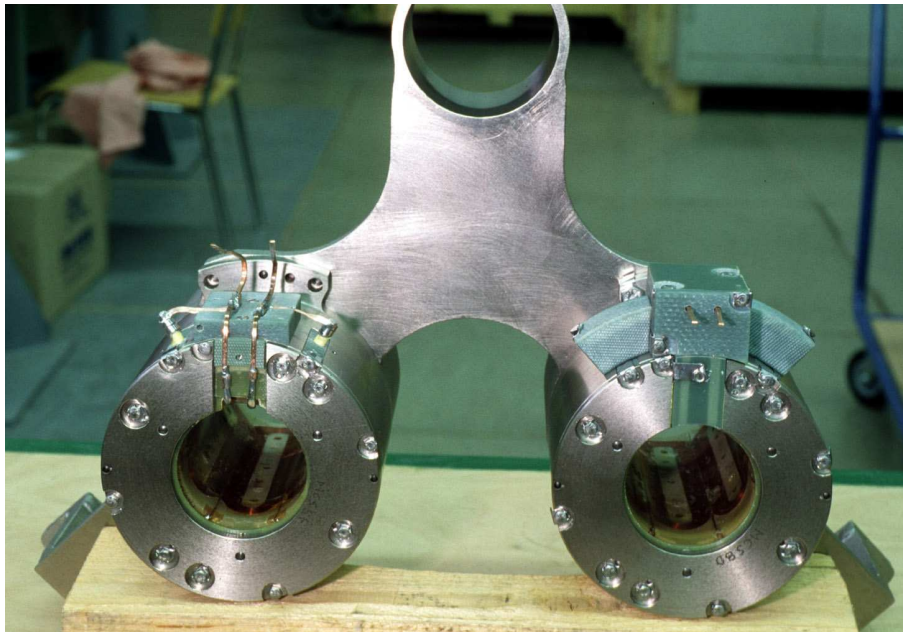
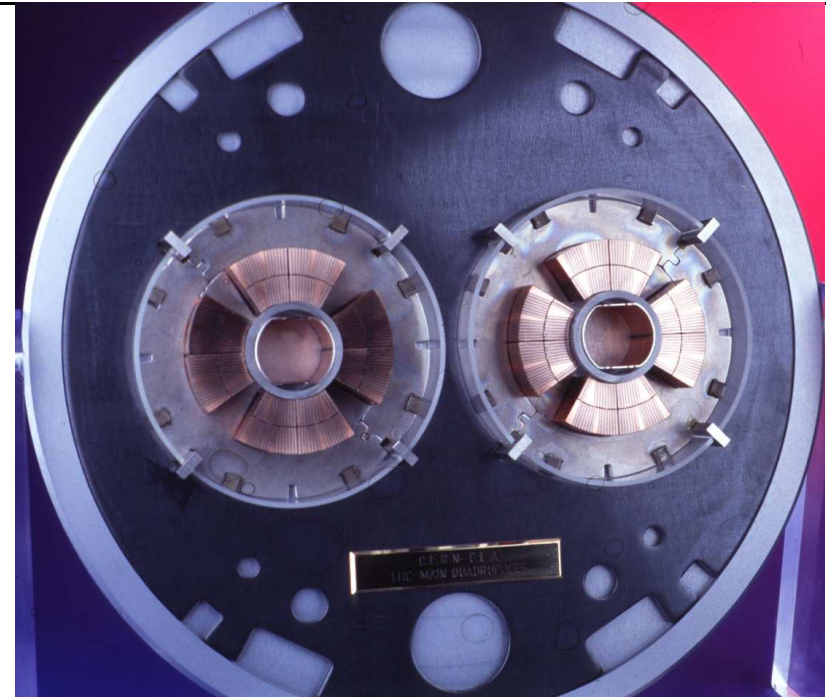
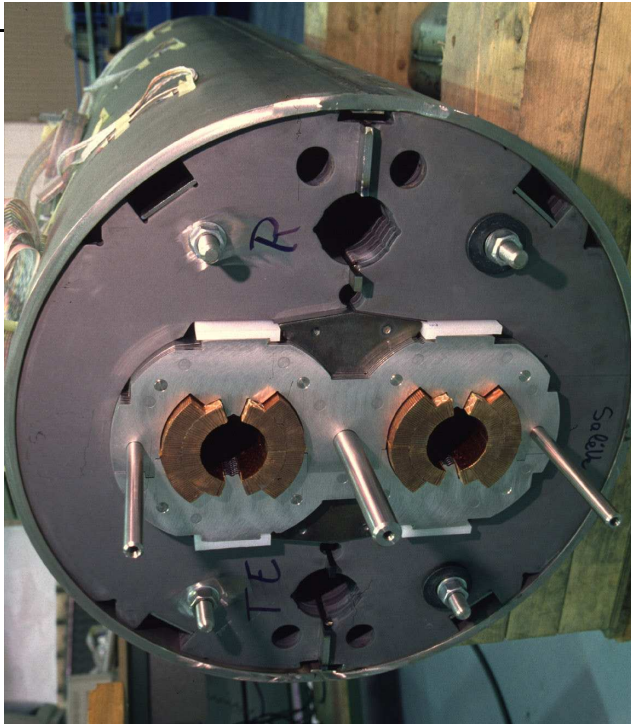


Abbildung 17: LHC-Magnete (von l.o. nach r.u.): supraleitender Dipol, supraleitender Quadrupol, Sextupol, einzelner Oktupol

**Kombination von Multipol-Magneten:**

(so gen. “combined function”-Magnete)

Beispiel: Polschuhform für horizontal fokussierende Ablenk-Magneten

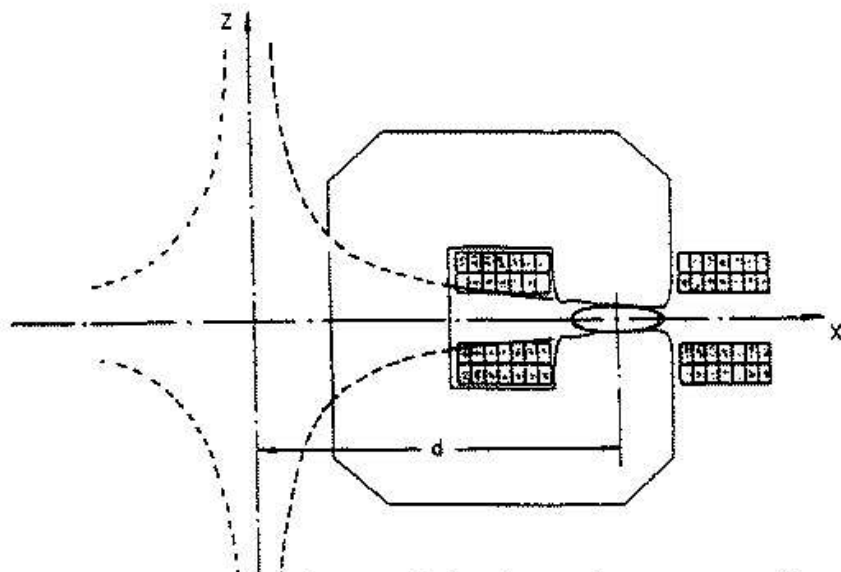
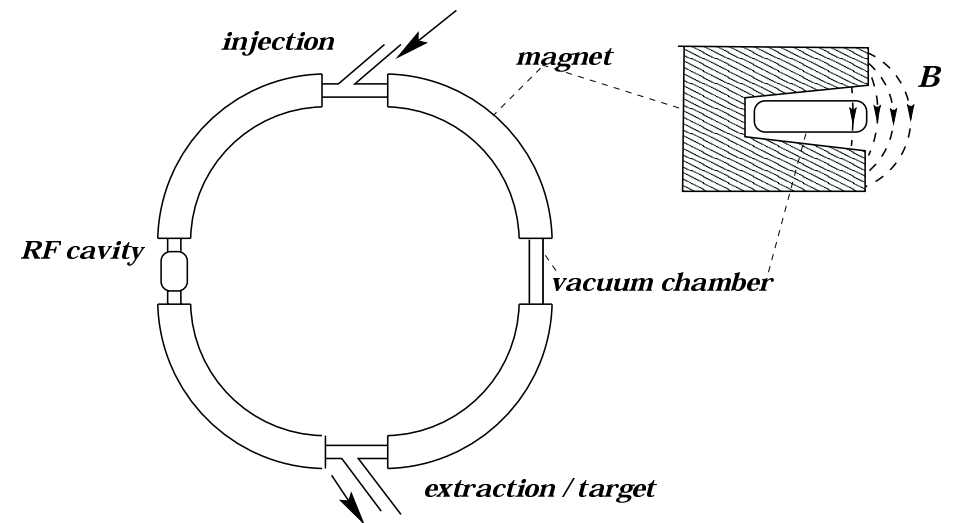


Figure 11: Cross-section of a horizontally focusing synchrotron magnet (from K. Steffen, Orsay lectures [4]).

... eingesetzt in “combined function”-Synchrotron:



NB: Im Gegensatz zu “combined function”-Beschleuniger, bei denen in den Magneten fokussierende und ablenkende Wirkung vereint sind, gibt es “separated function”-Maschinen (FODO), wo Dipol-Ablenkmagnete und Quadrupol-Fokussierungsmagnete separiert sind.

## Bewegungsgleichung für Teilchenstrahlen

Magnete und deren Felder:

- Dipole: : Teilchenführung entlang vorgegebenem Weg  $\longrightarrow$  Sollorbit oder Referenztrajektorie
- Quadrupole: : Fokussierung der Teilchen auf Sollorbit  $\longrightarrow$  geometrische Orbitkorrektur
- Sextupole: : Chromatizitätskorrektur  $\longrightarrow$  impulsabhängige Orbitkorrektur
- Oktupole u.a.: Korrekturen von Effekten höherer Ordnung  $\longrightarrow$

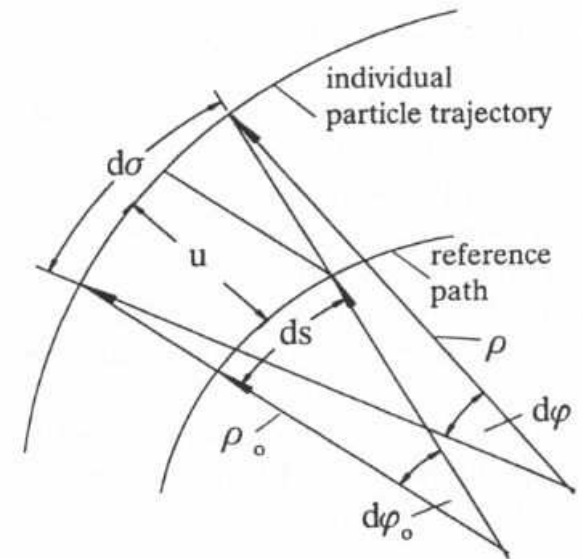
Kombination aller Elemente  $\longrightarrow$  Bewegungsgleichung im *mitbewegten Koordinatensystem* (vgl. Folie 4.3) in linearer Näherung ( $\rho \approx \rho_0 + u, d\varphi \approx d\varphi_0$ ):

- Weg bei Ablenkung auf Sollorbit,  $\longrightarrow ds = \rho_0 d\varphi_0$   
d.h. Kreisbahn mit Radius  $\rho_0 \equiv 1/\kappa_0$
- Weg auf Istorbit, Radius  $\rho \equiv 1/\kappa$   $\longrightarrow d\sigma = \rho d\varphi \approx (\rho_0 + u)d\varphi_0$
- mit Abstand  $u$  zwischen Ist- & Sollorbit  $\longrightarrow d\sigma \approx (1 + \kappa_0 u)ds = \frac{1}{\kappa}d\varphi$
- mit  $\left(\begin{smallmatrix} ** \\ * \end{smallmatrix}\right)$  von Folie 4.3

$$\rightarrow u'' = -(\kappa - \kappa_0) = -\left(\frac{d\varphi}{ds} - \frac{d\varphi_0}{ds}\right) \longrightarrow \boxed{u'' = -(1 + \kappa_0 u)\kappa + \kappa_0} \left(\begin{smallmatrix} * \\ * \end{smallmatrix}\right)$$

(NB: Ableitung bzgl.  $s$ , da i.A.  $u' \ll 1$  also  
*paraxiale Strahlen* !)

Bewegungs-Gl. für Sollimpuls



Berücksichtigung von **Abweichungen vom Sollimpuls**

Hierfür explizite Ablenkung in horizontaler Ebene, (De-)Fokussierung in horizontaler/vertikaler Ebene:

- Lorentzkraft = Zentrifugalkraft  $\rightarrow \kappa_x \equiv \frac{1}{\rho_x} = \frac{e}{cp} B_y, \quad \kappa_y \equiv \frac{1}{\rho_y} = -\frac{e}{cp} B_x$
- mit Multipol-Entwicklung für  $B_{x,y}$  (vgl. Folie 4.6)  $\rightarrow \begin{cases} \frac{e}{cp} B_y = \kappa_0 + kx + \frac{1}{2}m(x^2 - y^2) + \dots \\ \frac{e}{cp} B_x = \quad + ky + mxy + \dots \end{cases}$   
(Dipol:  $\kappa_0$ , Quadrupol:  $k$ , Sextupol:  $m, \dots$ )
- Impulsabweichung  $p = p_0(1 + \delta)$   $\rightarrow \frac{e}{cp} = \frac{e}{cp_0(1 + \delta)} \approx \frac{e}{cp_0}(1 - \delta + \dots)$

$\Rightarrow$  Bewegungs-Gl. in  $x, y$  aus (\*) (Folie 4.16)  
mit  $\kappa \equiv \kappa_x$

$$\begin{aligned} x'' + (\kappa_0^2 + k)x &= \delta\kappa_0 + \delta x (\kappa_0^2 + k) + \dots \\ y'' - k y &= -\delta y k + \dots \end{aligned}$$

- $\delta = 0$   
also keine Impulsabweichung

$$\begin{aligned} x'' + (\kappa_0^2 + k)x &= 0 \\ y'' - k y &= 0 \end{aligned}$$

$\Rightarrow \kappa_0^2$  in (...) wirkt fokussierend wie  $k$  vom Quadrupol  
so gen. *schwache Fokussierung* durch Dipol!

## Generelle Lösung der Bewegungs-Gleichung

Struktur der homogenen Bewegungs-DGL:  $u'' + Ku = 0$ ,

dabei ist  $K \equiv k + \kappa_x^2$  bzw.  $K \equiv -k + \kappa_y^2$ .

Hauptlösungen sind:

für $K > 0$ :	$S(s) = \frac{1}{\sqrt{K}} \sin(\sqrt{K}s)$	und	$C(s) = \cos(\sqrt{K}s) \equiv S'(s)$
für $K < 0$ :	$S(s) = \frac{1}{\sqrt{ K }} \sinh(\sqrt{ K }s)$	und	$C(s) = \cosh(\sqrt{ K }s) \equiv S'(s)$

mit Anfangswerten:

$S(0) = 0,$		$C(0) = 1,$
$S'(0) = \frac{dS}{ds} = 1,$		$C'(0) = \frac{dC}{ds} = 0.$

Sie werden auch als "sinus-" und "cosinus-artige"-Lösungen bezeichnet.

Alle Linearkombinationen  $u(s)$  ( $u'(s)$ ) von  $C(s)$  und  $S(s)$  ( $C'(s)$  und  $S'(s)$ ) sind Lösungen der DGL !

In Matrixschreibweise: 
$$\begin{pmatrix} u(s) \\ u'(s) \end{pmatrix} = \begin{bmatrix} C(s) & S(s) \\ C'(s) & S'(s) \end{bmatrix} \cdot \begin{pmatrix} u(s_0) \\ u'(s_0) \end{pmatrix} \quad \text{mit} \quad W(s) \equiv \begin{vmatrix} C(s) & S(s) \\ C'(s) & S'(s) \end{vmatrix} = 1$$

- [...] ist die *Transformationsmatrix* eines Strahltransportelements (feldfreies gerades Stück, Dipol, Quadrupol, ...)
- $u(s)$  und  $u'(s)$ : *Ablage* eines Teilchens vom Sollorbit und die *Änderungsgeschwindigkeit* ( $u = x, y$ ).
- $W(s)$  ist die *Wronski-Determinante*,  $W(s) = 1$  für dissipationsfreie Systeme (d.h. kein Energiegewinn/-verlust)

**Matrixoptik für Teilchenstrahlen** ist weitestgehend analog zur **paraxialen Lichtoptik**:

- achsenparallele Trajektorien ( $u'_0 = 0$ )

→ erhalten Steigung  $u'(s) = C'(s)u_0$

- Brennweite:  $f = -u_0/u'(s) = -1/C'(s)$

- Brennpunkt:  $u(s_f) \stackrel{!}{=} 0$

→ cos-artige Lösung:  $C(s_f) = 0$

- Punkt-zu-Punkt-Abbildung ist möglich:

Objekt  $H_0$  bei  $s = s_0$

sin-artigen Lösung hat Nullpunkt:  $S(s_0) = 0$

→ abgebildet auf  $H_i$  mit Nullpunkt

$S(s_0 + s_i) = 0$  bei  $s = s_0 + s_i$

- Phasenvorschub durch solche Abbildung:

$$+180^\circ \quad (\text{da } u'(s_0) = -u'(s_0 + s_i) \text{ und } u(s_0) = -u(s_0 + s_i))$$

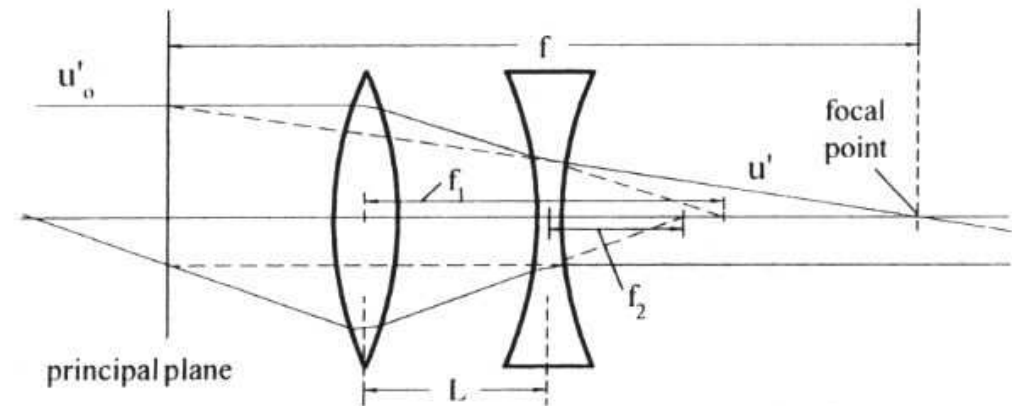


Fig. 4.14. Focusing in a quadrupole doublet

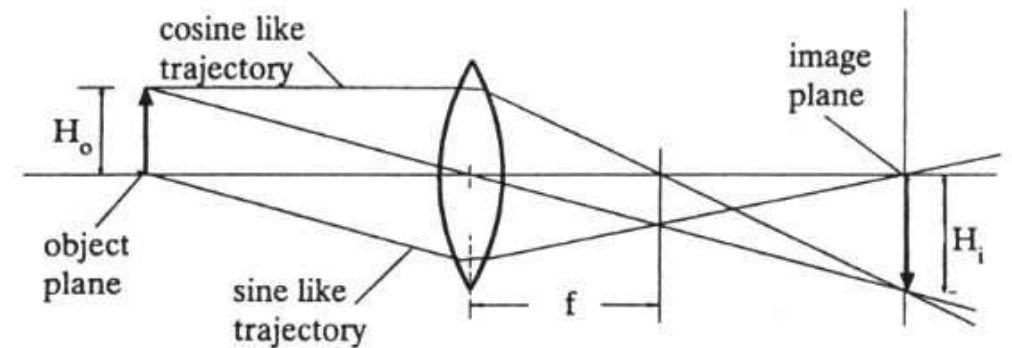


Fig. 4.15. Point to point imaging

**Dispersion:**

Die Bewegungs-DGL von 4.17 enthält Impulsabhängigkeiten von der allgemeinen Form ( $K(s) = \pm 1/\rho_0^2(s) + k$ ):

$$u'' + K(s)u = \frac{1}{\rho_0(s)}\delta$$

Man erhält als allgemeine Lösung

$$\begin{cases} u(s) = aC(s) + bS(s) + \delta D(s) \\ u'(s) = aC'(s) + bS'(s) + \delta D'(s) \end{cases},$$

wobei für die Dispersionsfunktion  $D(s)$  gilt (Rechnung z.B. in H.Wiedermann: Particle Accelerator Physics I):

$$D(s) = \int_0^s \frac{1}{\rho_0(s)} [S(s)C(\tilde{s}) - C(s)S(\tilde{s})] d\tilde{s}$$

Man kann die Matrizen nun leicht zur Berücksichtigung der Dispersion verallgemeinern:

$$\begin{pmatrix} u(s) \\ u'(s) \\ \delta \end{pmatrix} = \begin{bmatrix} C(s) & S(s) & D(s) \\ C'(s) & S'(s) & D'(s) \\ 0 & 0 & 1 \end{bmatrix} \cdot \begin{pmatrix} u(s_0) \\ u'(s_0) \\ \delta \end{pmatrix}$$

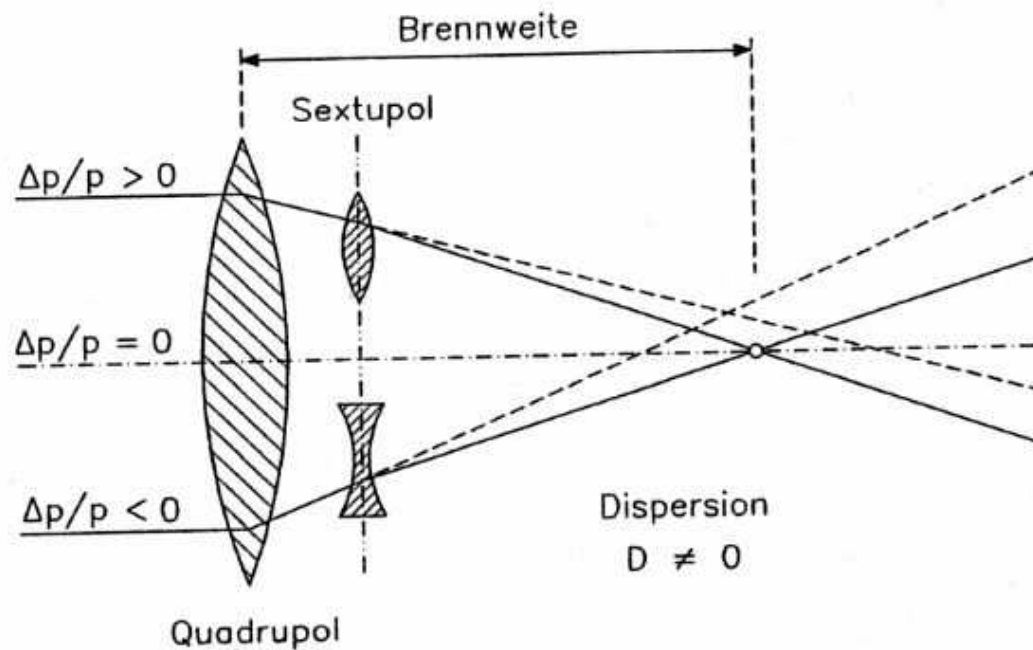
Dispersion: Korrektur durch **Sextupol-Magnete**:

Dispersion führt zu *Chromatizität*, d.h. die Fokussierung eines Quadrupols hängt vom Teilchenimpuls bzw. von der Abweichung  $\delta$  vom Sollimpuls  $p_0$  ab:

Korrektur der Chromatizität: *Achromate* (=achromatische Kombination von Quadrupolen) oder *Sextupole*

**Funktionsprinzip:**

**Chromatizität der Strahloptik und ihre Kompensation**



**Gestrichelt:** Teilchentrajektorie ohne Chromatizitätskorrektur

**Durchgezogen:** dito mit Korrektur durch Sextupol

(NB:  $\Delta p/p$  in Abbildung entspricht  $\delta$  in diesem Skript.)

**Fig. 3.41** Prinzip der Kompensation der durch Quadrupolmagnete hervorgerufenen Chromatizität durch Sextupole